

# 再散射输运模型与 $K^+/\pi^+$ 比的系统学

王仲奇 萨本豪 张孝泽 宋光 陆中道 郑玉明

(中国原子能科学研究院 北京 102413)

1993年5月24日收到

## 摘要

用含再散射效应的简单的强子输运模型,研究了 AGS 能量( $14.6 A \text{GeV}/c$ )下  $p + p$ 、 $p + Au$  和  $Si + Au$  反应的  $K^+/\pi^+$  比值,再现了该比值由  $p + p$  到  $Si + Au$  不断增长的实验事实。CERN 能量( $200 A \text{GeV}/c$ )和 AGS 能量下,  $K^+/\pi^+$  比值相近的实验事实也得到了解释。

**关键词** 强子输运,再散射效应,权重统计,随机游荡。

## 1 引言

相对论性核-核碰撞中  $K^+/\pi^+$  比值,相对于同能量的质子-质子(质子-核)碰撞的增强,被普遍地认为是探测反应过程中,有无形成夸克-胶子等离子体(QGP)的一个有希望的判据(讯号)。

尽管建立在强子背景下的热模型<sup>[1-3]</sup>和输运模型<sup>[4,5]</sup>中的多数,认为  $K^+/\pi^+$  比增强的事实可以被解释,而无需依赖 QGP 的形成。不过  $K^+/\pi^+$  比的新实验结果仍然不断地涌现,特别是  $K^+/\pi^+$  比值由  $p + p$  到  $p + A$  再到  $A + B$  不断增加的系统学,以及新近发现的 CERN 能量 ( $200 A \text{GeV}/c$ ) 下  $K^+/\pi^+$  比值与 AGS 能量 ( $14.6 A \text{GeV}/c$ ) 下几乎相等的实验事实<sup>[6]</sup>,都还没有很好地被解释。所以说,研究  $K^+/\pi^+$  比的系统学,是对强子机制模型的挑战。

在上一篇文章中<sup>[7]</sup>我们建议了一种研究再散射对高能核-核碰撞中  $K^+/\pi^+$  比效应的简单的强子输运模型,很好地解释了  $14.6 A \text{GeV}/c Si + Au$  反应中  $K^+/\pi^+$  比增强的实验数据,本文则用此模型研究  $K^+/\pi^+$  比的系统学。结果表明,在合理的参数范围内,  $K^+/\pi^+$  比值从  $p + p$  到  $p + A$  再到  $A + B$  不断增长,CERN 能量下的  $K^+/\pi^+$  比值和 AGS 能量下的几乎相等,……,都得到了很好的解释。

## 2 模型

为了本文的完整,在此简单地重复一下本模型的概要。

由于本模型是专用以研究再散射对  $K^+/\pi^+$  比的效应，因此借用 Fritiof 程序<sup>[8]</sup>来描写相对论性核碰撞的早期过程，由它来提供  $\pi$  和  $K$  等初级粒子。

因为将要研究的有关  $K^+/\pi^+$  比系统学的实验，都是中心碰撞，所以把上述初级  $\pi$  和  $K$  均匀地布置在弹核对心地穿过靶核时所截下的几何柱体内。为了简单起见，假设作为  $\pi$  再散射一种配偶的核子，由靶核子构成。这些核子是均匀布置在靶核的球几何内，它们的动量服从玻尔兹曼分布，即

$$f(p) = \text{const } \frac{p^2}{T^{3/2}} \exp \left[ -\frac{p^2}{2m_N T} \right], \quad (1)$$

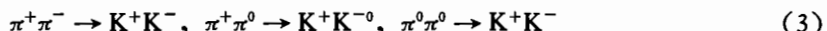
$$\langle p \rangle = \sqrt{2m_N T}. \quad (2)$$

式中  $T$  是核子温度(以 GeV 为单位)， $m_N$  是核子质量， $\langle p \rangle$  是平均核子动量(以  $\text{GeV}/c$  为单位)。

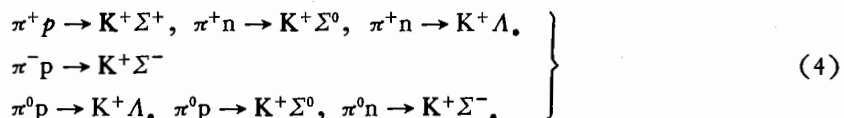
考虑到  $K$  产额相对于  $\pi$  要小得多， $K$  和核子相互作用截面比  $\pi$  也小得多，因此不考虑  $K$  的再散射，Fritiof 粒子产生器提供的  $K$  直接被记录。

关于碰撞表的构成和更新碰撞表的办法等，同于文献[7]，这儿不多赘述。需要指出的是：由于研究的是  $\pi$  再散射对  $K^+/\pi^+$  比的效应，又为了简单起见，这儿忽略了核子间的再散射<sup>[9]</sup>，即假设  $NN$  再散射对  $K$  及  $\pi$  产额平衡影响不大。

无论  $\pi N$  或  $\pi\pi$  碰撞产生  $K$  的截面都很小，为了增加  $K$  的统计性，采用权重法记录碰撞产生的  $K$ 。譬如对于  $\pi\pi$  碰撞，下述非弹过程



都各有其发生的几率(即相应过程的截面与  $\sigma_{\text{tot}}$  的比值)，并以其为权重统计  $K$  的产生。对于  $\pi N$  碰撞，下述非弹过程



也同样有其发生的几率，也以其为权重统计  $K$  的产生。

但输运过程则仍然采用直接法实现随机游荡。以  $\pi^+n$  碰撞为例，若上面已经随机地决定了是  $\pi^+n \rightarrow K^+\Lambda$ ，那么在以权重(等于  $\sigma_{\pi^+n \rightarrow K^+\Lambda}/\sigma_{\text{tot}}$ )统计  $K^+$  以后，通过一个随机数与该权重的比较，来判断  $\pi^+n \rightarrow K^+\Lambda$  过程是否真的发生？若是，本随机游荡历史即告结束，若否，就继续游荡。为此先执行本碰撞，求得碰后  $\pi^+$  和  $n$  的状态(这儿为简单起见，按弹性散射处理)，接着所有粒子都按其牛顿轨迹走一段时间(等于前面挑出的最小碰撞时间)，再更新碰撞表，更新粒子表……。

由于缺乏实验数据， $\pi\pi \rightarrow KK$  的截面设为常数<sup>[1,4,9]</sup>(取为 0.05 或 0.1 或 0.2 或 0.35 fm<sup>2</sup>)；而  $\pi n \rightarrow K^+Y$ ( $Y$  指  $\Lambda$  或  $\Sigma$ )的截面，则采用文献[9]的同位旋平均的参数化形式。

### 3 结果与讨论

表1给出了 AGS 能量下  $\text{Si} + \text{Au}$ 、 $p + \text{Au}$  以及  $p + p$  和 CERN 能量下  $\text{S} + \text{W}$ 、 $p + \text{W}$  以及  $p + p$  的  $K^+/\pi^+$  和  $K^-/\pi^-$  比值的计算结果和相应的实验值。由此可见，在

类似入射能量下的  $K^+/\pi^+$  比值由  $p + p$  到  $p + A$  到  $A + B$  逐渐增大的实验事实被再现; CERN 能量下  $p + p$ 、 $p + A$  和  $A + B$  的  $K^+/\pi^+$  比值分别与 AGS 能量下的  $p + p$ 、 $p + A$  和  $A + B$  相近的实验事实, 也被解释。需要说明, AGS 能量下  $p + Au$  的结果是取  $\sigma_{\pi\pi \rightarrow KK} = 0.2 \text{ fm}^2$ , 此截面取为 0.05 和 0.35 的  $K^+/\pi^+$  比结果分别是 0.103 和 0.12。

表 1  $K/\pi$  比的系统规律

		AGS 能量			CERN 能量		
		$p + p^1)$	$p + Au^2)$	$Si + Au^3)$	$p + p^4)$	$p + W^5)$	$S + W^6)$
$K^+/\pi^+$	实验	0.04—0.1	0.125	$0.19 \pm 0.03$	$0.108 \pm 0.009$	$0.141 \pm 0.008$	$0.197 \pm 0.009$
	理论	0.083	0.110	0.21	0.10	0.152	0.180
$K^-/\pi^-$	实验	0.03—0.06	0.028	$0.036 \pm 0.08$	$0.086 \pm 0.008$	$0.037 \pm 0.004$	$0.053 \pm 0.004$
	理论	0.030	0.023	0.027	0.051	0.063	0.076

1)  $\sigma_{\pi\pi \rightarrow KK} = 0.5 \text{ mb}$ ,  $\langle p \rangle = 600 \text{ MeV}$ , 实验数据取自 [10]。

2)  $\sigma_{\pi\pi \rightarrow KK} = 2.0 \text{ mb}$ ,  $T = 20 \text{ MeV}$ , 实验数据取自 [3]。

3)  $\sigma_{\pi\pi \rightarrow KK} = 0.5 \text{ mb}$ ,  $T = 100 \text{ MeV}$ , 实验数据取自 [11]。

4)  $\sigma_{\pi\pi \rightarrow KK} = 1.5 \text{ mb}$ ,  $\langle p \rangle = 600 \text{ MeV}$ , 实验数据取自 [6]。

5)  $\sigma_{\pi\pi \rightarrow KK} = 1.5 \text{ mb}$ ,  $T = 20 \text{ MeV}$ , 实验数据取自 [6]。

6)  $\sigma_{\pi\pi \rightarrow KK} = 1.5 \text{ mb}$ ,  $T = 200 \text{ MeV}$ , 实验数据取自 [6]。

( $\langle p \rangle$ : 核子的平均动量)

表 2 给出了 AGS 能量下  $Si + Au$ 、 $p + Au$  以及  $p + p$  的无再散射和有再散射的  $K^+/\pi^+$  比值的计算结果。由此可见, 实验数据的被解释, 完全依赖于再散射效应。CERN 能量下的结果, 亦相类似。

表 2  $K/\pi$  比的再散射效应(AGS 能量)

	无再散射			有再散射		
	$p + p$	$p + Au$	$Si + Au$	$p + p$	$p + Au$	$Si + Au$
$K^+/\pi^+$	0.071	0.036	0.050	0.083	0.110	0.21
$K^-/\pi^-$	0.028	0.017	0.014	0.030	0.023	0.027

表 3  $K/\pi$  比的核子密度相关性 ( $Si + Au$ )

核子密度 ( $f_m^{-3}$ )	0.16	0.32	0.64
$K^+/\pi^+$	0.21	0.23	0.25
$K^-/\pi^-$	0.027	0.029	0.032

$\sigma_{\pi\pi \rightarrow KK} = 0.5 \text{ mb}$ ,  $T = 100 \text{ MeV}$ , 完全再散射。

表 3 给出了 AGS 能量下  $Si + Au$  反应中核子密度(亦即靶球半径)对  $K^+/\pi^+$  比的效果。由此表可见, 随着核子密度的增大(靶球半径的减小),  $K^+/\pi^+$  比持续增加, 但密度效应并不很剧烈。因为从密度加大的角度看, 再散射可能性固然增大, 不过从靶球半径减小的角度看, 再散射的可能却应减小, 两者是相克的。显然若另从手征对称破缺恢复的角度来考虑, 密度效应将会剧烈得多。

表4对于AGS能量的Si + Au反应研究 $\pi$ 形成时间(人为赋予的)对 $K^+/\pi^+$ 比的效果。由此表可见,形成时间的效果是很厉害的。本模型的初级 $\pi$ 是由Fritiof粒子产生器提供的,因此假设形成时间 $\tau = 0$ 是合适的,其它表所给的结果也都是 $\tau = 0$ 的。

表4  $K/\pi$  比与形成时间的关系 (Si + Au)

形成时间 $\tau(\text{fm}/c)$	0	0.5	1.0
$K^+/\pi^+$	0.21	0.070	0.052
$K^-/\pi^-$	0.027	0.016	0.014

$\sigma_{\pi\pi \rightarrow KK} = 0.5 \text{ mb}$ ,  $T = 100 \text{ MeV}$ , 完全再散射。

表5 介子数目统计 (Si + Au)

介子	$K^+$		$\pi^+$		$K^-$		$\pi^-$	
	无	全	无	全	无	全	无	全
再散射								
数目	217	572	4427	2709	72	106	5156	3876
增(或减)因子	2.63		(1.63)		1.47		(1.33)	

$\sigma_{\pi\pi \rightarrow KK} = 0.5 \text{ mb}$ ,  $T = 100 \text{ MeV}$

表5统计了AGS能量下Si + Au反应中 $\pi$ 和K各种介子的产额。由此表可见,再散射导致 $K^+/\pi^+$ 比值的增加,主要是 $K^+$ 产额增加的效应,而不是 $\pi^+$ 产额减少的缘故,与实验<sup>[12]</sup>相符合。

作者感谢赵维勤教授的有益讨论,感谢丁林培教授提供了Fritiof程序。

### 参 考 文 献

- [1] L.H. Xia and C.M. Ko, *Phys. Lett.*, **B222**(1989)343; C.M. Ko, Z.G. Wu, L.H. Xia and G. E. Brown, *Phys. Rev. Lett.*, **66**(1991)2577.
- [2] J. Cleymans, H. Satz, E. Suhonen and D.W. von Oertzen, *Phys. Lett.*, **B242** (1990)111.
- [3] C.M. Mader, W. Bauer and G.D. Westfall, *Phys. Rev.*, **C45**(1992)2438.
- [4] R. Mattiello, H. Sorge, H. Stöcker and W. Greiner, *Phys. Rev. Lett.*, **63**(1989)1459.
- [5] Chao Weiqin, Gao Chong shou and Zhu Yun lun, *Nucl. Phys.*, **A514**(1990)734.
- [6] T. Akesson et al., Helios collab., *Phys. Lett.*, **B295**(1992)273.
- [7] 王仲奇等,高能物理与核物理,18(1994).
- [8] B. Nilsson-Almqvist and E. Stenlund, *Comput. Phys. Comm.*, **43**(1988)387
- [9] P. Koch, B. Müller and J. Rafeiski, *Phys. Rep.*, **142**(1986)167.
- [10] S. Nagamiya, *Nucl. Phys.*, **A488**(1988)3c.
- [11] T. Abbott et al., E802 collab., *Phys. Rev. Lett.*, **64**(1990)847.
- [12] T. Abbott, et al., E802 collab., *Phys. Rev. Lett.*, **66**(1991)1567.

## Systematic study of the $K^+/\pi^+$ ratio and hadronic transport model for rescattering of pion

Wang Zhongqi Sa Benhao Zhang Xiaoze Song Guang

Lu Zhongdao Zheng Yuming  
(*China Institute of Atomic Energy, Beijing, 102413*)  
Received on May 24, 1993

### Abstract

The proposed hadronic transport model for rescattering of pion is used to investigate the  $K^+/\pi^+$  ratio in  $p+p$ ,  $p+Au$  and  $Si+Au$  reactions at AGS energy ( $14.6 A GeV/c$ ). Experimental evidence of increasing continuously of the  $K^+/\pi^+$  ratio from  $p+p$  to  $p+Au$  to  $Si+Au$  at similar incident energy per nucleon is reproduced reasonably. The experimental fact of  $K^+/\pi^+$  ratio at CERN energy is comparable with corresponding result at AGS energy, is reproduced as well.

**Key words** hadron transport, rescattering effect, weight statistics, random walk.